

Dekompressionsmodelle Einführung und Übersicht

Dr. Michael Melter

Vortrag zur
VDST/CMAS TL2 Theorie Vorbereitung – 11.02.2011
in Frankfurt am Main

Fachbereich Ausbildung These



Hält man sich stets an Tabellen bzw. Computer,

wird eine DCS zuverlässig verhindert!

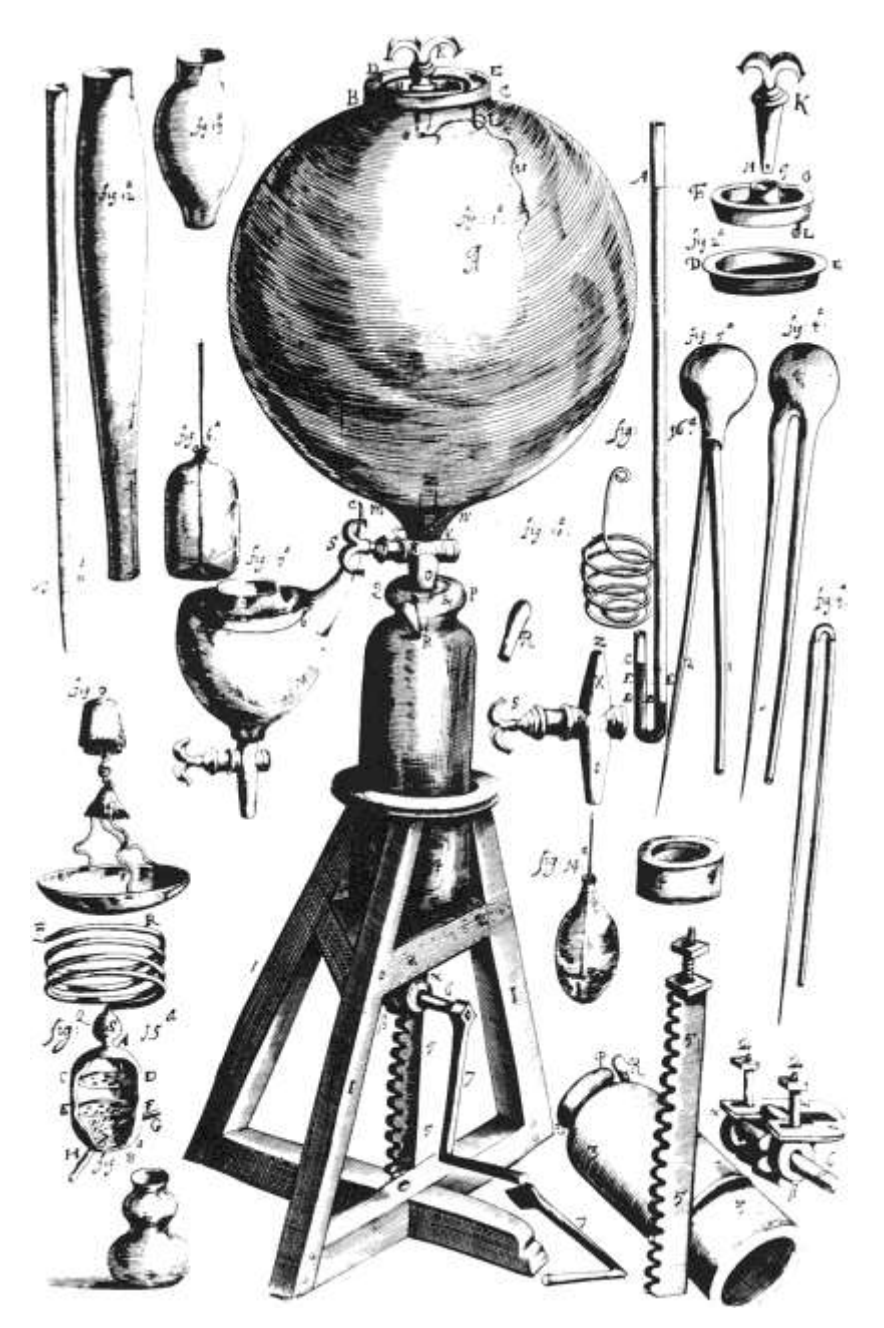
Fachbereich Ausbildung Übersicht

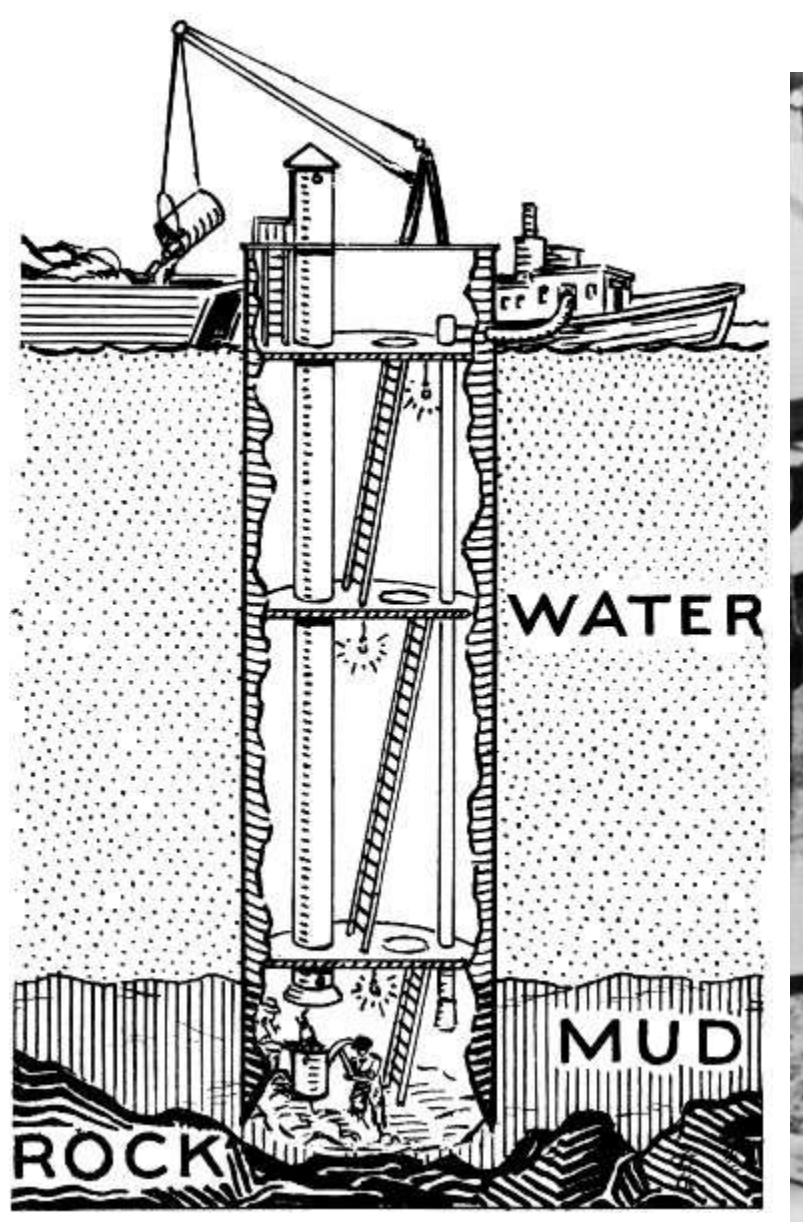


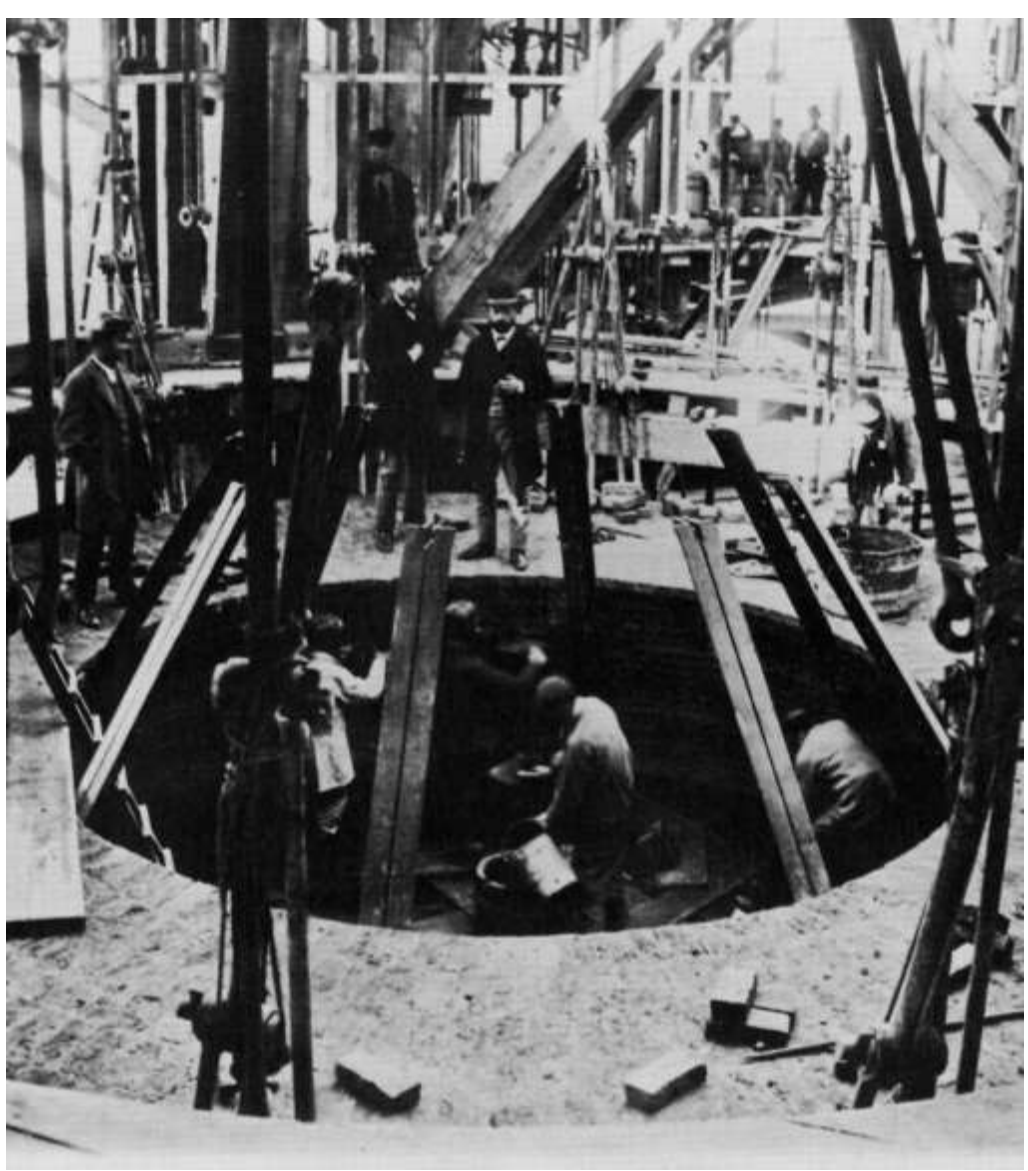
- Eine kurze Geschichte der Dekompression
- Klassische Dekompressionsmodelle
- Moderne Dekompressionsmodelle
- Vom Modell zum Computer
- "Take-Home-Message"

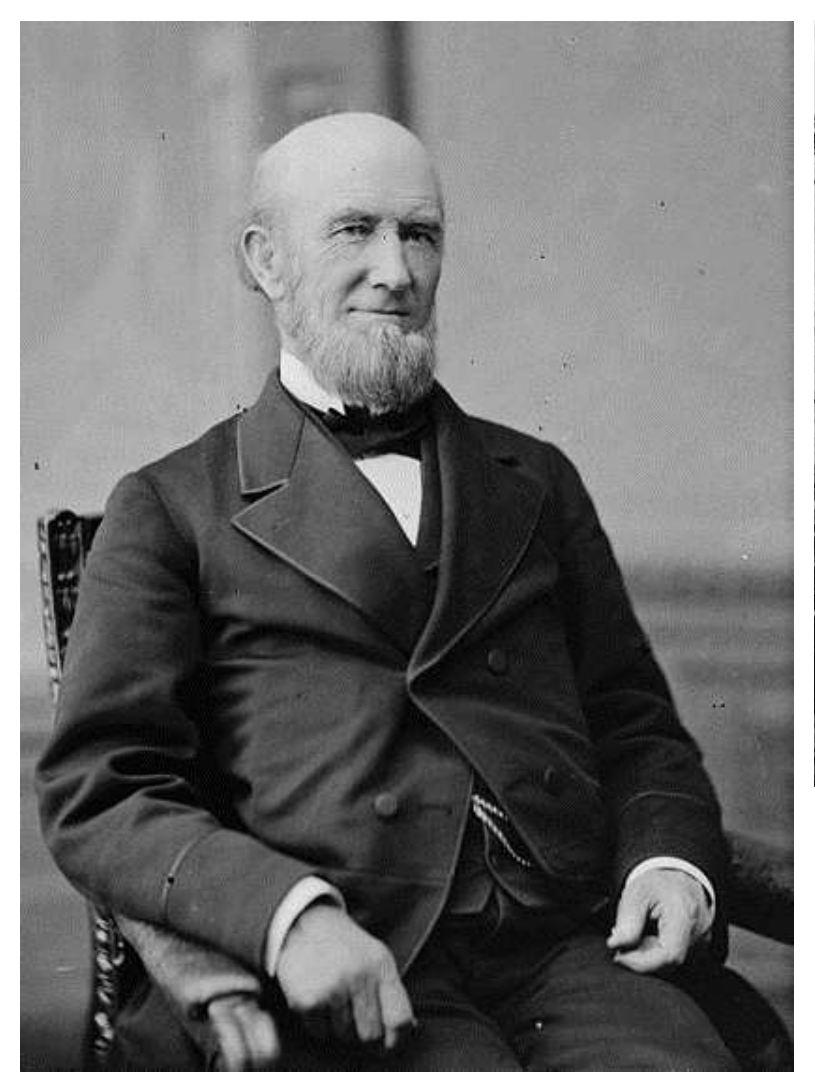


Robert Boyle (1627-1691)











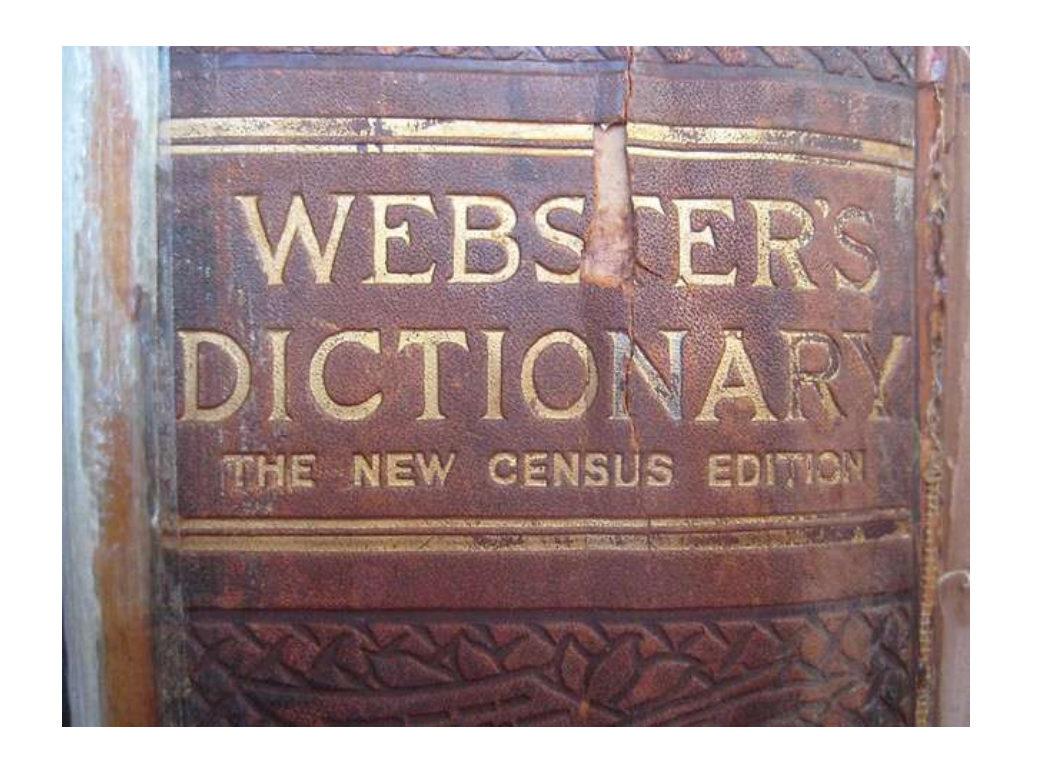


James Buchanan Eads (1820-1887)

Eads Bridge, St. Luis (Missouri) Brücke über den Mississippi (Bau: 1866-1876)



Bau: 1865-1883 Johann (John) August Roebling, später Washington R., dann Emily Warren R.

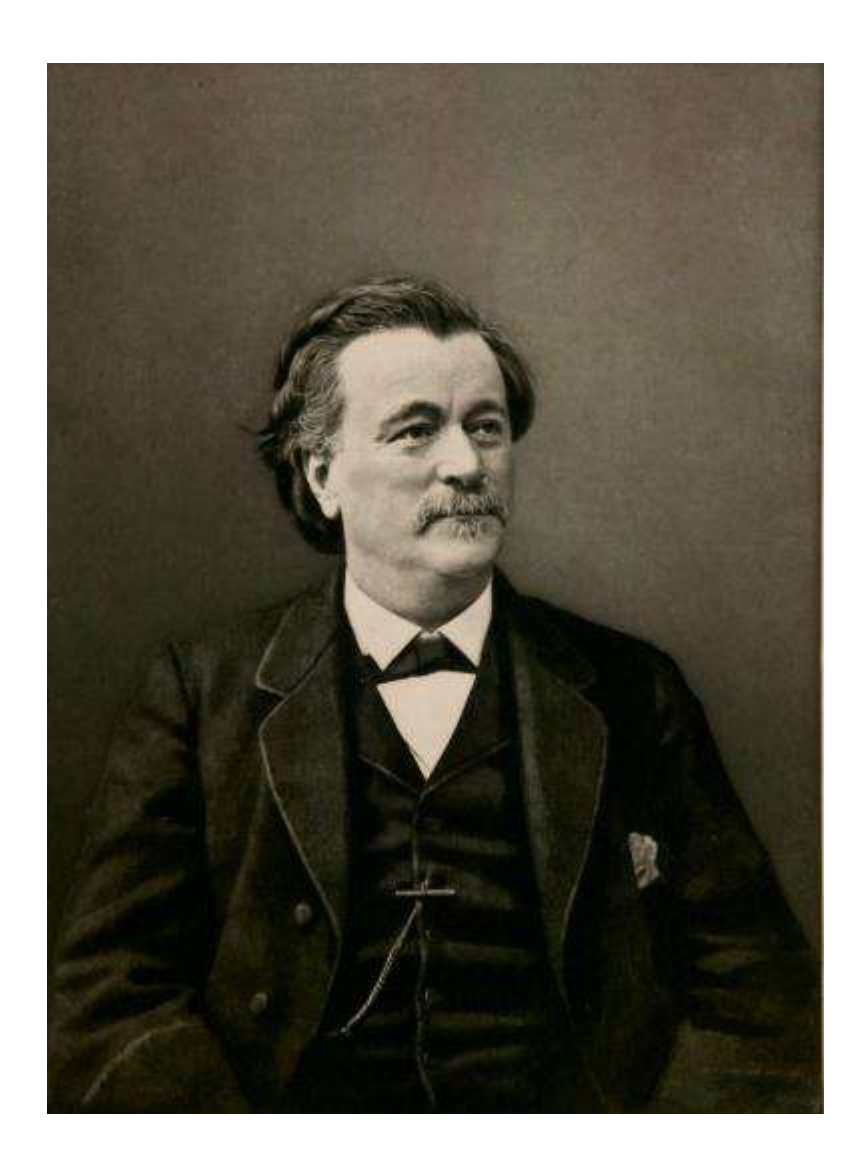


"A disease frequently induced by remaining for some time in an atmosphere of high pressure, as in caissons, diving bells, etc.

It is characterised by neuralgic pains and paralytic symptoms.

1913
Caisson disease (med.)

It is variously explained, most probably as due to congestion of internal organs with subsequent stasis of the blood."



Paul Bert (1833-1886)

LA

PRESSION BAROMÉTRIQUE

RECHERCHES

DE PHYSIOLOGIE EXPÉRIMENTALE

PAR

PAUL BERT

PROFESSEUR & LA PACULTÉ DES SCIENCES DE PAUTS

LAUNEAY DE L'ACADÉRIE DES SCIENCES (Prix de physiologie expérimentale, 1982) LAUREAY DE L'INSTITUT (Grand Prix bissont, 1972)

AVEC 89 FIGURES DANS LE TEXTE

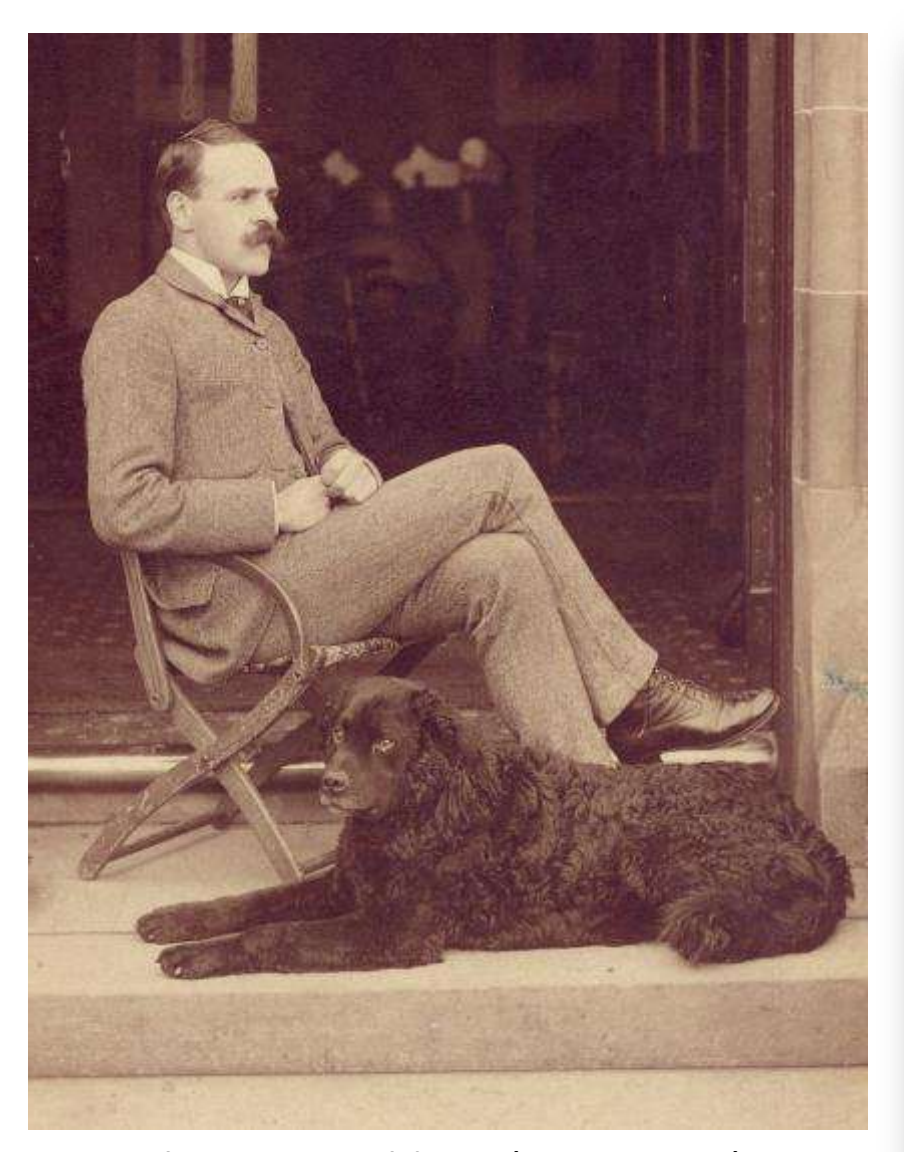
PARIS

G. MASSON, ÉDITEUR

LIBRAIRE DE L'ACADÉNIE DE MÉDECINE

SOCIETARS SAINT-GENERALITY, EN PACE DE L'ÉLOIE DE MÉDICIN

IN DECC LEAVING



John Scott Haldane (1860-1936)

THE PREVENTION OF COMPRESSED-AIR ILLNESS.

By A. E. BOYCOTT, D.M.,

G. C. C. DAMANT, Lieut. and Inspector of Diving, R.N.,

AND J. S. HALDANE, M.D., F.R.S.

(From the Lister Institute of Preventive Medicine.)

[With 7 Figures and 3 Plates.]

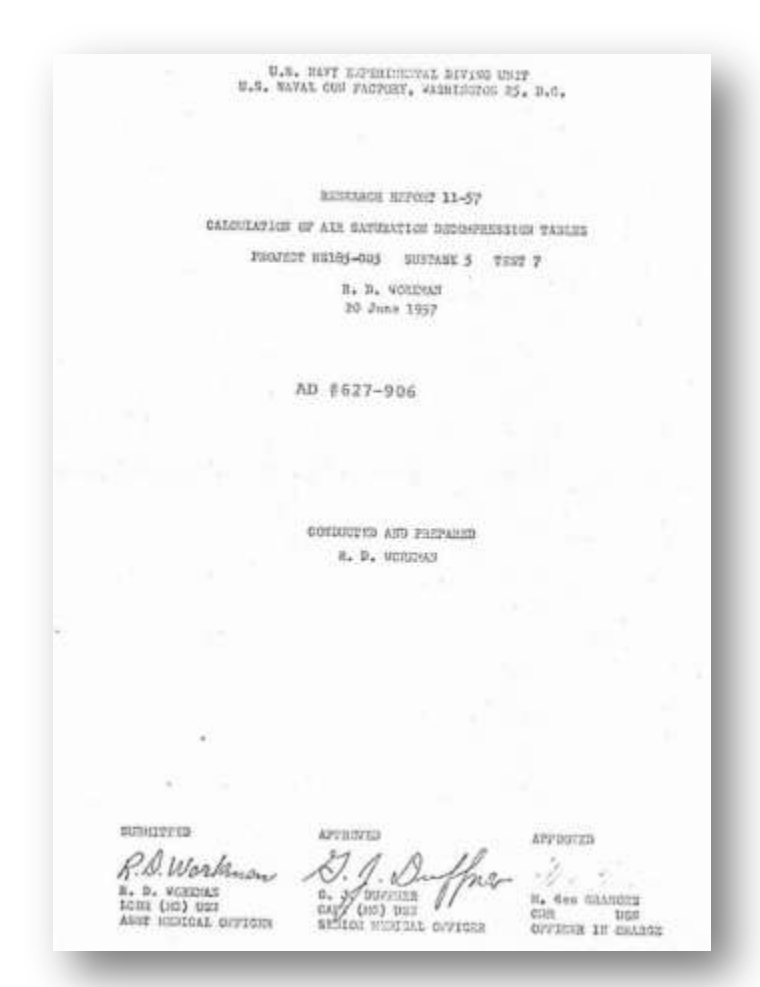
CONTENTS.

												PAGE	
Introd		4		*	*	4	±00					343	
Part I	Theoretic	al.											
Α.	The rate of	d saturation	on of th	e bo	dy wi	th nit	roge	n du	ring e	spec	ште		
	to cor	npreased a	ir					+				345	
B.	The rate	of desatur	ation o	f the	bod	y will	nit	roge	o du	ring e	nd	-	
	after	decompres	noin	40					-			350	
C.	The limits	of safety	in deco	mpre	sinlos					4.1		355	
D	Practical :	messures f	or avol	ding	comp	reswe	d-air	illor	188				
	(1)	Diving .								-2	4	858	
	(2)	Work in o	insons	and	tunn	els				1		372	
Part I											9.0		
1.	Apparatus			1		-	4.	1	34/1	earl	6940	877	
2.			tal ani	male	and	result	e wil	th lat	go at	the De	WH -	- 14	
	anim	ala .							123	*	41	378	
3.	Respirator	y exchang	e of gos	sts		. 3		100	1	4	-	380	
4.	Method of				men	te					-	161	
8.	Symptom	observed	in goal							4		385	
6.	Besults of	the goat e	sperim	ente	Ş.,			8				894	
7.	Individual					imen	al a	nima	ln.			403	
8.	Assert San Charles						1		300		1	410	
Summ	ary											424	
Appen	dix L. Hu	man exper	imente	in t	he pr	esmore	chs	mber		- 89	0.00	426	
		man exper						30.	533	- 500	- 0	429	
		tocols of a								0		436	
	200000 00000	bles for de					1	0	3	- 53	3	442	
			and the same	-									

Fachbereich Ausbildung US Navy



- US Navy verwendet von 1912 bis 1960 das Modell von Haldane
- Robert D. Workman
 - Captain in der NEDU (Navy Exerimental Diving Unit)
 - Mediziner
 - Erkennt Probleme mit den Haldane-Tabellen bei längeren, tieferen Tauchgängen
 - Führt den "M-Wert" ein
 - Führt zusätzliche langsamere Kompartimente ein
 - Erkennt dir Verwendbarkeit von Computern zur Dekompression





Albert Bühlmann (1923-1994)

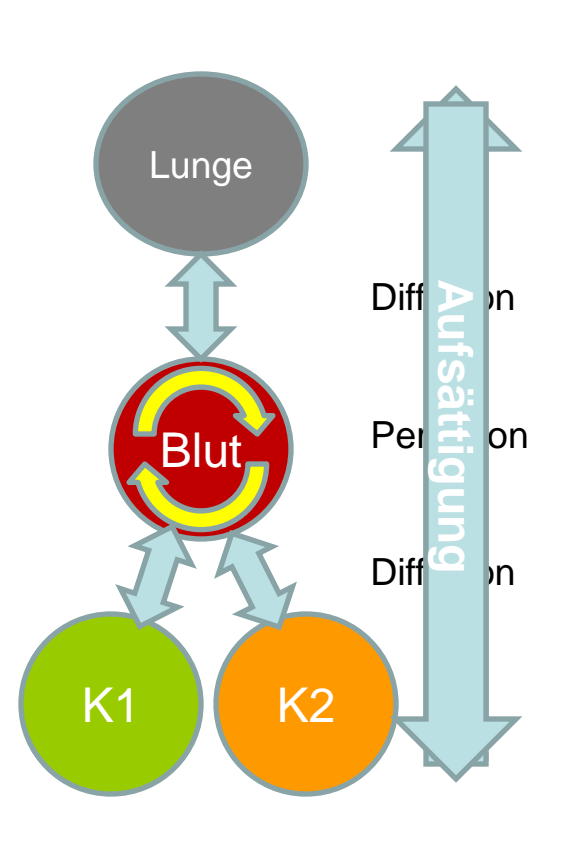
- Erste Untersuchungen zum Bergseetauchen
- M-Wert Definition unterschiedlich zu Workman
- Erweitert die Kompartimente auf zunächst 12 (ZHL12), dann 16 (ZHL16), später wieder 8 (ZHL8ADT), diese dafür adaptiv
 - Grundlage für UWATEC
 Tauchcomputer seit 1982
 (Aladin, Aladin Pro, Air X, ...)
- Standardwerk: "Tauchmedizin"
- Vater der VDST/CMAS Tabelle (zusammen mit Max Hahn)

Das klassische Modell

Haldane/Workman/Bühlmann



- Kompartimente
 - als Modell für Gewebe
- Diffusion
 - Motor: Ungleichgewicht von Konzentration (Druck)
 - Luft \leftrightarrow Blut und Blut \leftrightarrow Gewebe
 - Untersättigung = Ursache für Aufsättigung
 - Übersättigung = Ursache für Entsättigung
- Perfusionskontrolle (keine Diffusionskontrolle)
- Starke Idealisierung
- Einphasenmodell: Keine Grenzflächen
 - Keine Gasblasen



Fachbereich Ausbildung Formelwerk

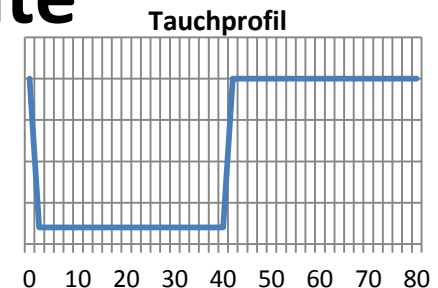


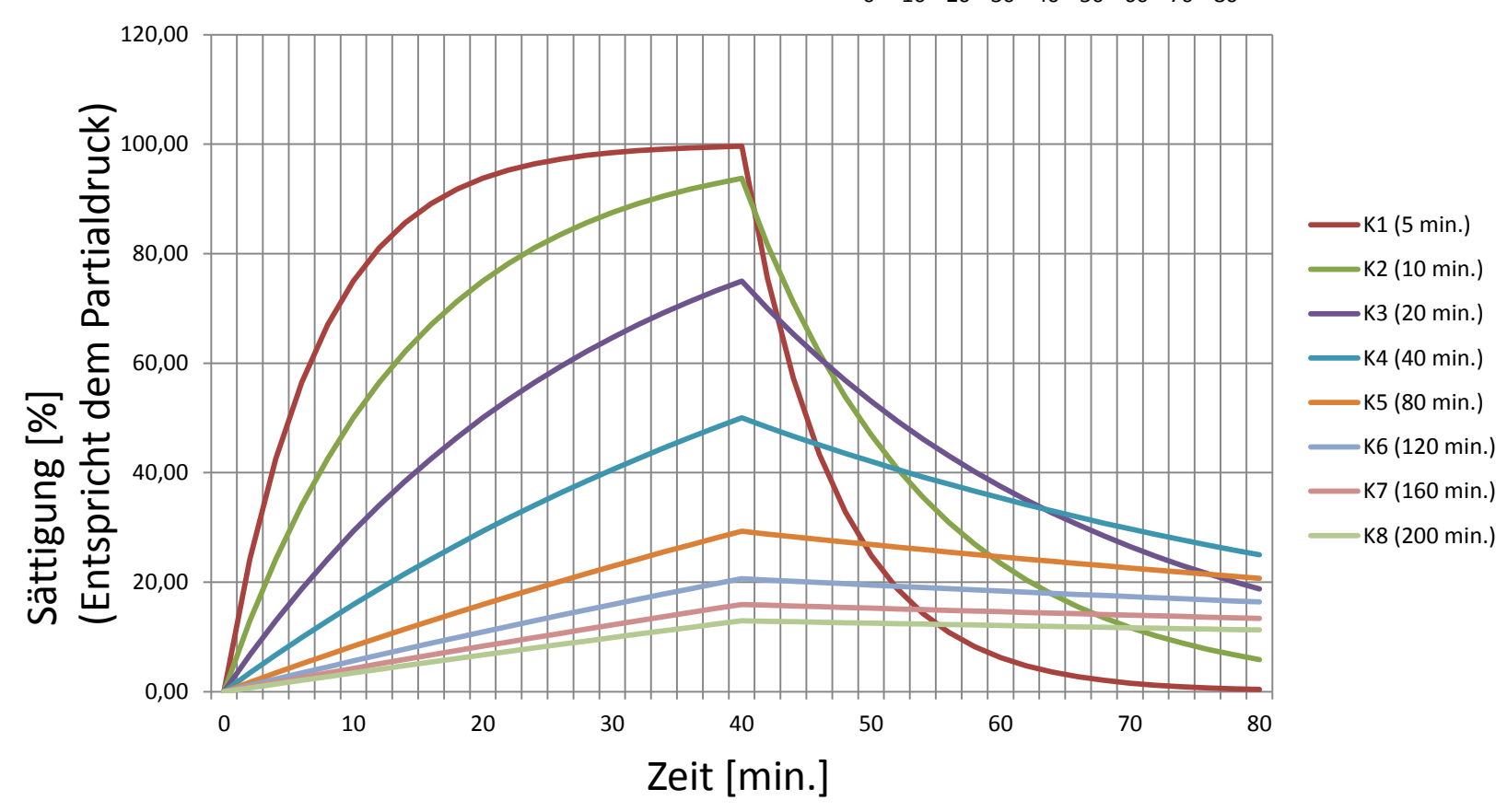
- Grundlage: Exponentieller Zerfall
- Analog: Zerfallsprozesse in der Natur
 - z.B. radioaktiver Zerfall

$$N_t = N_0 \cdot e^{-k \cdot t}$$
 $t = Zeit[s]$ $k = \frac{\ln 2}{Halbwertszeit}$

Sättigung der Kompartimente







Fachbereich Ausbildung Kritische Übersättigung





Gasspannung im Gewebe darf bestimmten Wert nicht überschreiten, sonst bilden sich in DIESEM Gewebe Gasblasen

$$p \leq M$$

Fachbereich Ausbildung Kritische Übersättigung – Haldane



Haldane Modell:

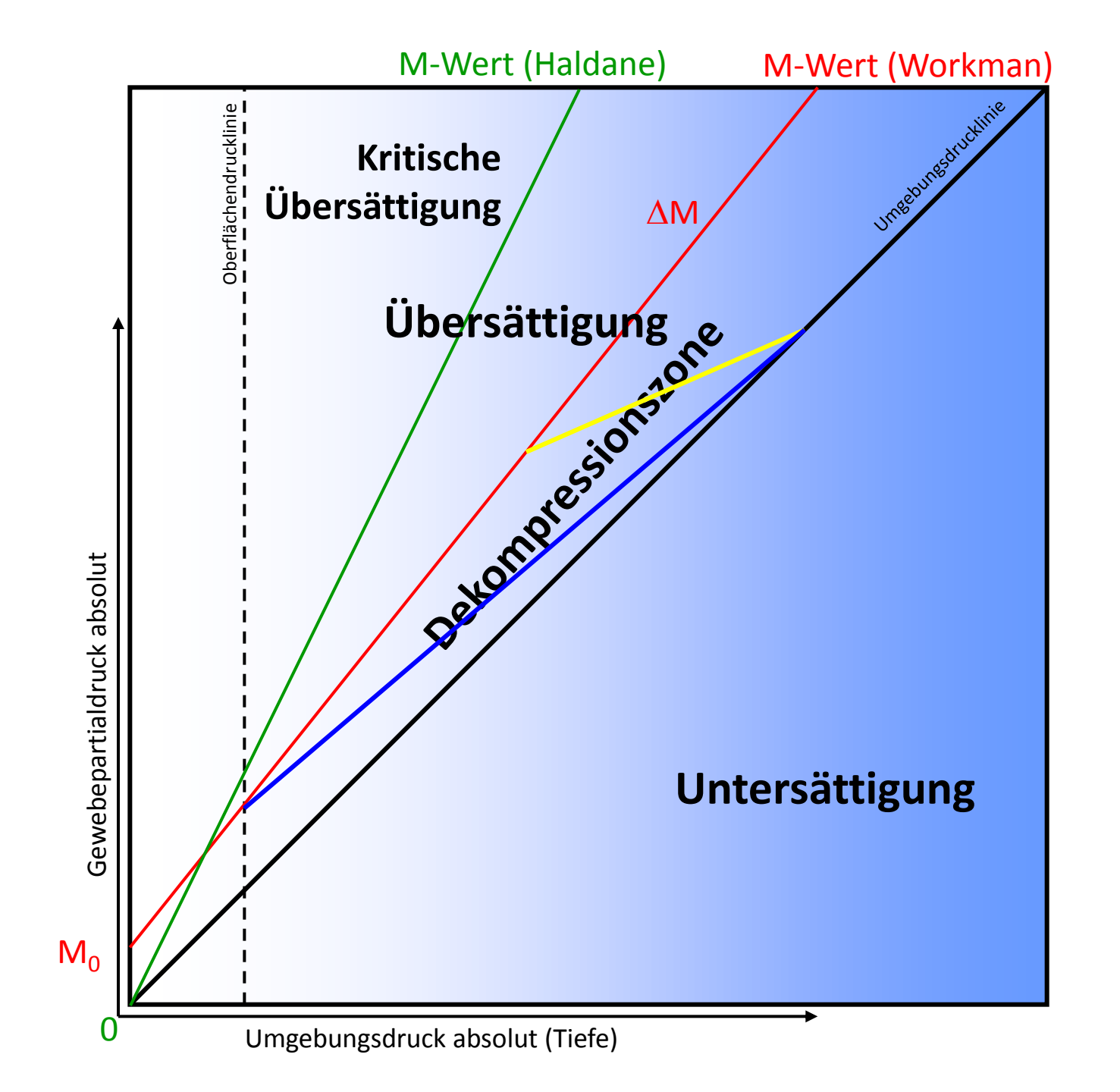
- M = 2 · [Umgebungsdruck]
- Gilt für jedes Gewebe/Kompartiment
- Gilt in jeder Tiefe
- Problem: Unfälle bei langen TG in großen Tiefen
- Verwendet bis 1960 (mit kleinen Modifikationen)

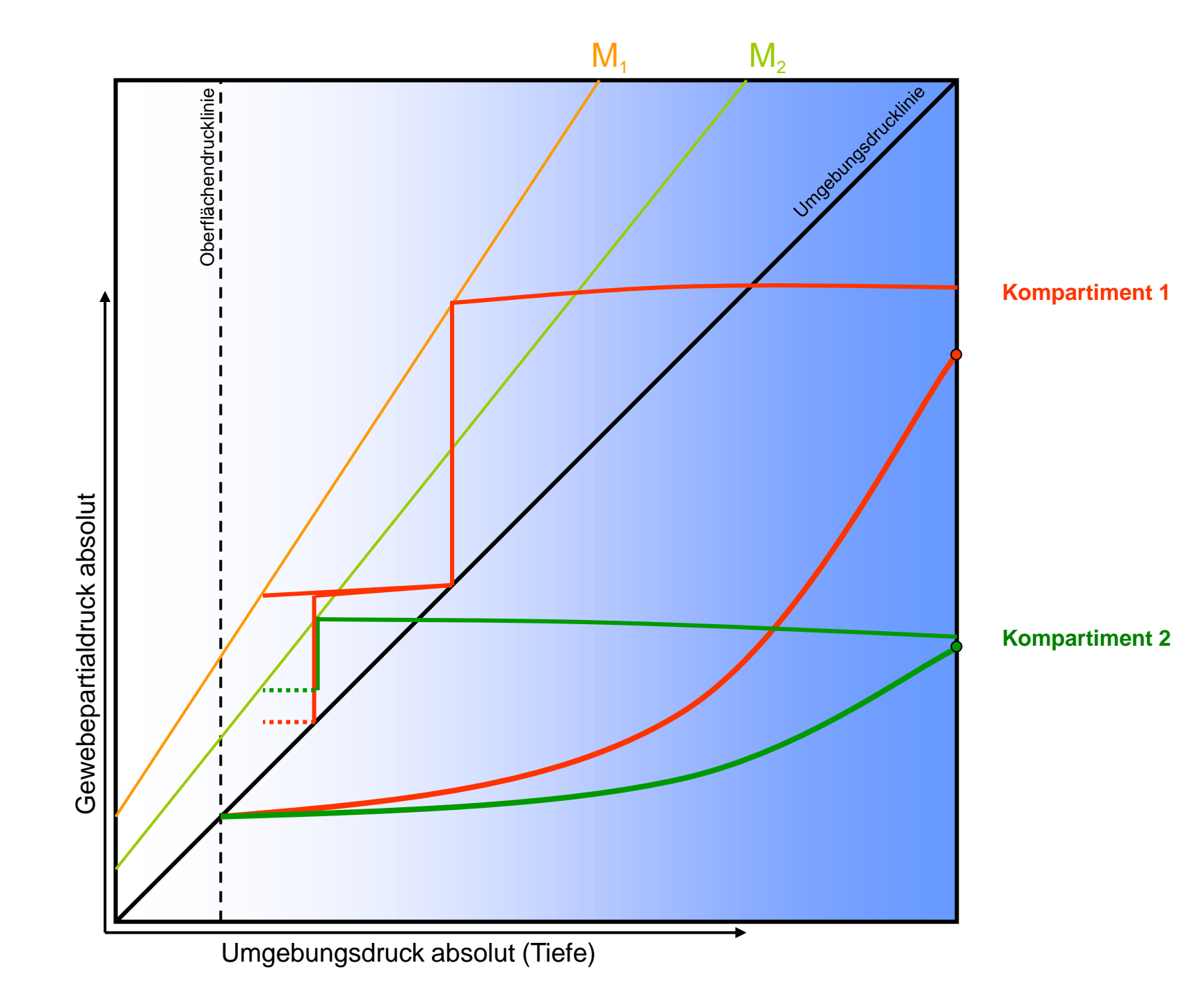
Fachbereich Ausbildung Kritische Übersättigung – Workman



Workman/Bühlmann Modell:

- M ist empirischer Wert
- Basis: "gewünschte" DCS-Häufigkeit
- M hängt von Tauchtiefe ab weiter unten werden geringere Überspannungen toleriert
- M ist, wie die Halbwertszeit auch, jeweils für das betrachtete Kompartiment charakteristisch
- Abgeleitete Tabellen gelten jeweils nur für eine definierte Aufstiegsgeschwindigkeit





Grenzen der klassischen Modelle von Haldane/Workman/Bühlmann

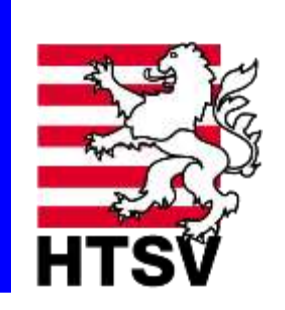


- Problem bei klassischer Dekompression
 - Ultraschallmessungen zeigen Blasen...
 - ...auch wenn keine Symptome der DCS vorliegen
 - ...auch wenn korrekt dekomprimiert wurde
 - ...auch vor dem TG sind immer schon Blasen vorhanden
 - Wenn aber immer Blasen vorhanden sind...
 - ...vergrößern sich diese bei JEDEM Aufstieg
 - ...kann auch beim Einhalten der M-Wert Grenze eine DCS auftreten
- Beobachtungen
 - Müdigkeit nach Tauchgängen
 - insbesondere bei kurzen und tiefen Tauchgängen
 - DCS trotz korrekter Austauchpausen
 - individuelle Faktoren? (PFO, ...)
 - sehr selten, relativ zu anderen Tauchunfällen!





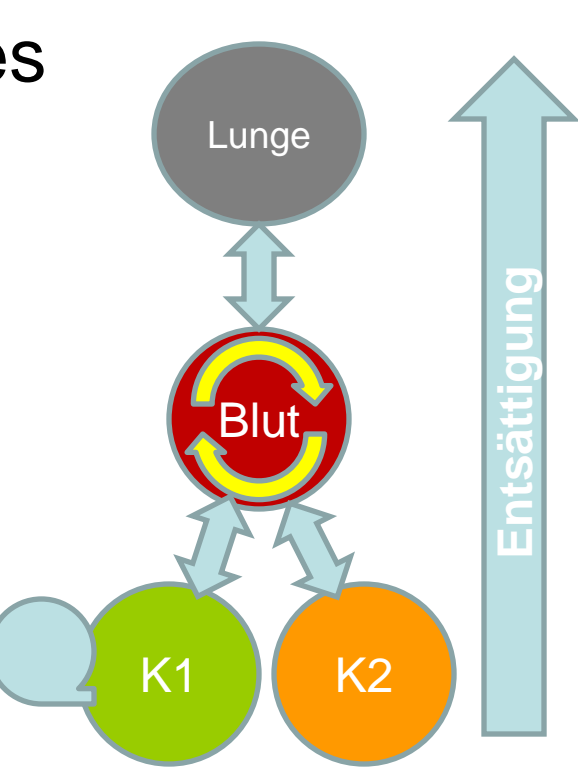
Einfluss symptomloser Blasen auf die Dekompression



 Partialdruck des gelösten Gases im Gewebe bzw. im Blut sinkt

- Folge
 - Geringeres Diffusionsgefälle
 - Geringere Entsättigungsrate

"Sättigungsfalle"



Verbesserungsmöglichkeiten



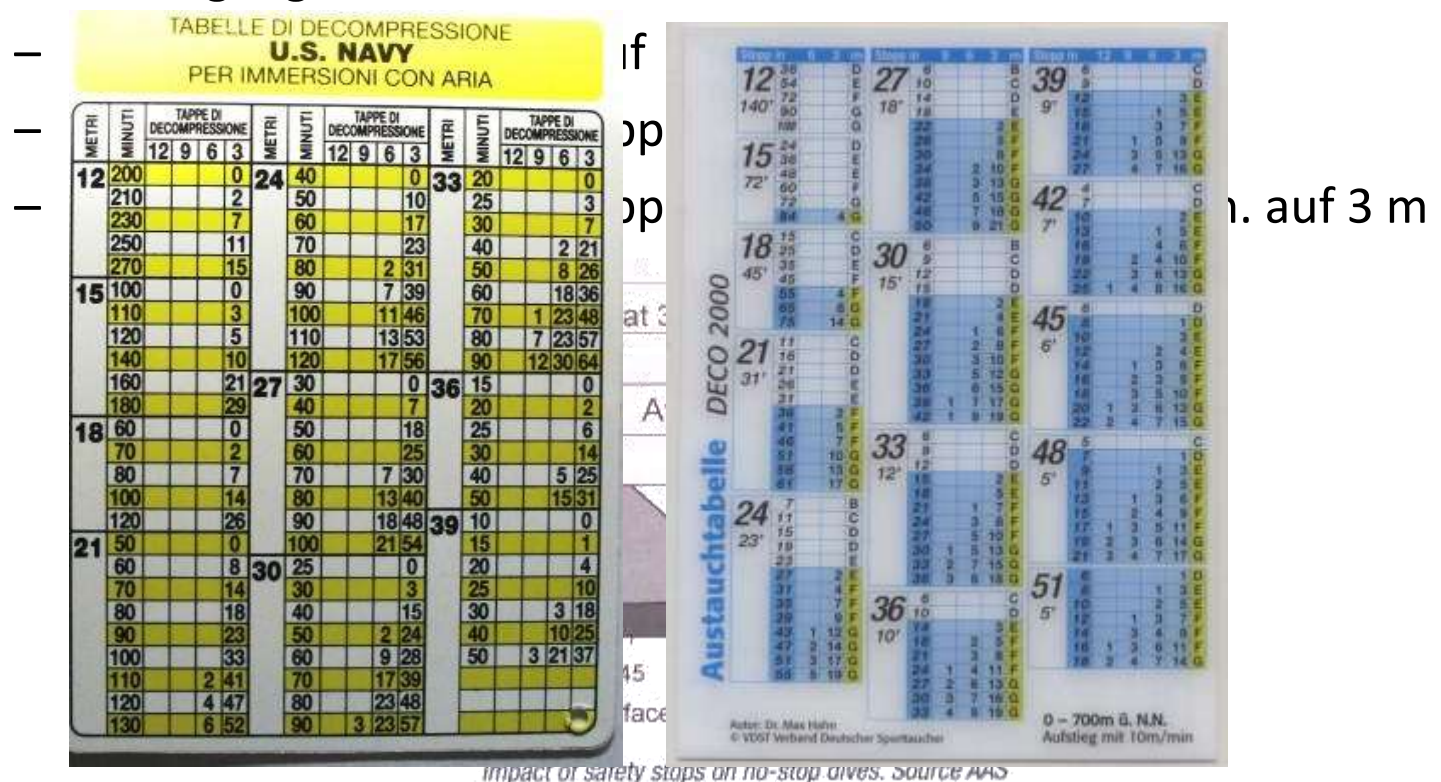
- Sicherheitsstopps
- neo-Haldane Modelle (z.B. Bühlmanns ZHL8ADT)
 - längere Dekozeiten auf klassischen Dekotiefen
 - kürzere Nullzeiten; vor allem bei Wiederholungs-TG
- "Pyle Stops"
- Gradientenmethode
- Zweiphasenmodelle (Blasenmodelle)
 - Gänzlich "andere" Physik
 - Deutlich komplexere Mathematik
 - Drei unterschiedliche Ansätze
 - Thermodynamisches Modell
 - VPM Variable Permeability Model
 - RGBM Reduced Gradient Bubble Model

Ergebnis: "Deep Stops"

Einfluss von Sicherheitsstopps



- US-Navy Studie
 - Tauchgang auf 30 m Tiefe, 25 min. Grundzeit



Deep Stops



Ziel

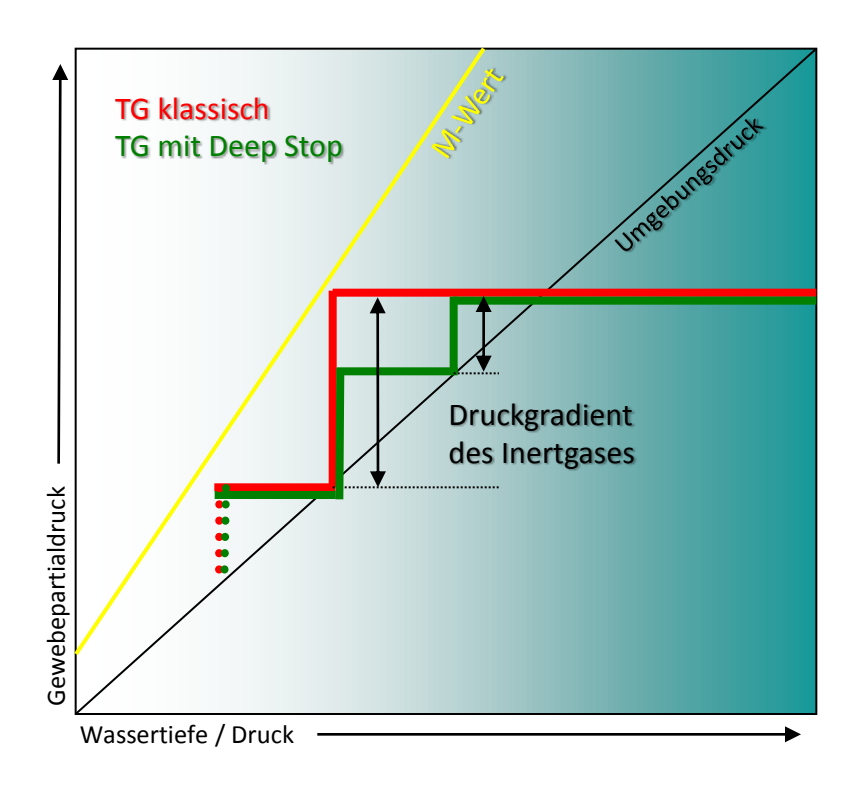
 Reduktion des Gradienten der Gewebepartialdrucke zum Umgebungsdruck

Deep Stops

- "Pyle Stops" nach tiefen Tauchgängen
- Gradientenmethode
- Zweiphasenmodelle

Nachteile

- zus. Aufsättigung der langsameren Gewebe in der Tiefe muss später wieder kompensiert werden
- Gradient steigt leicht für die langsameren Gewebe am Ende des TG
- Balance zwischen Vor- und Nachteilen!



"Pyle Stops"



- Richard Pyle (Meeresbiologe und "Fisch-Verrückter")
 - Bei "Fisch-Sammel-TG" wesentlich weniger Müde als bei anderen TG auf gleiche Tiefe und mit gleicher Grundzeit
- Vorgehensweise
 - Hälfte zwischen maximaler Tiefe und erster Dekotiefe (2-3min.)
 - Wenn mehr als 9m zum ersten Dekostopp: erneut halbieren (usw.)
 - Beispiel:45m maximale Tiefe, 1. Dekostopp bei 9m

Erster "Pyle-Stop": (45+9)/2 = 27m

Abstand zum Dekostopp: 27-9 = 18m (>9m)

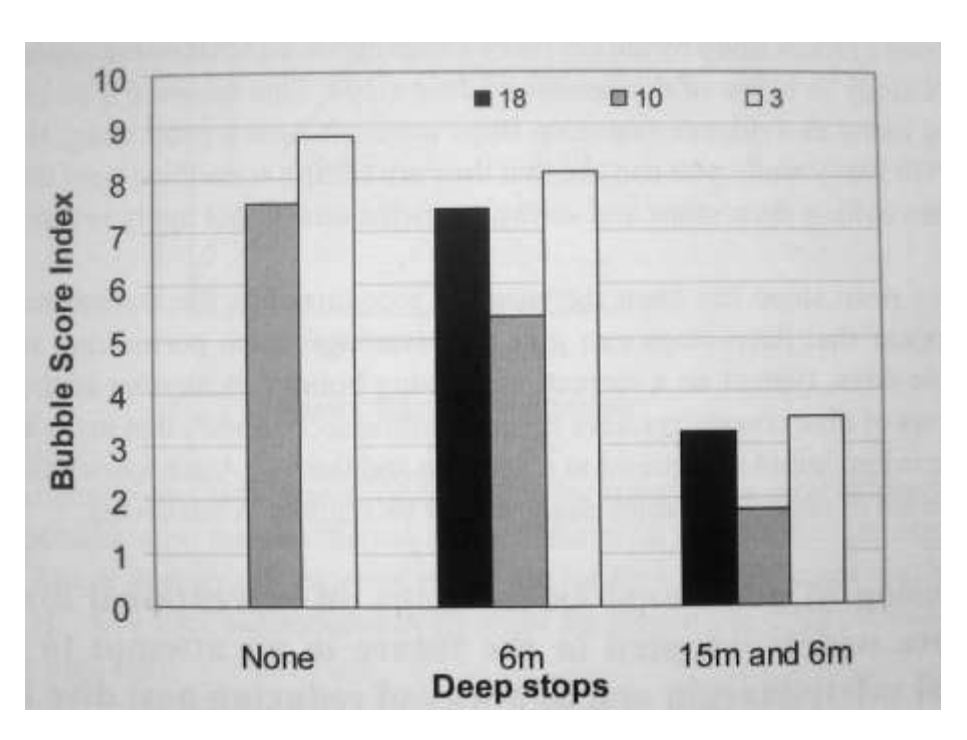
Nächster "Pyle-Stop": (27+9)/2 = 18m

"Pyle Stops" – Was bringt's?



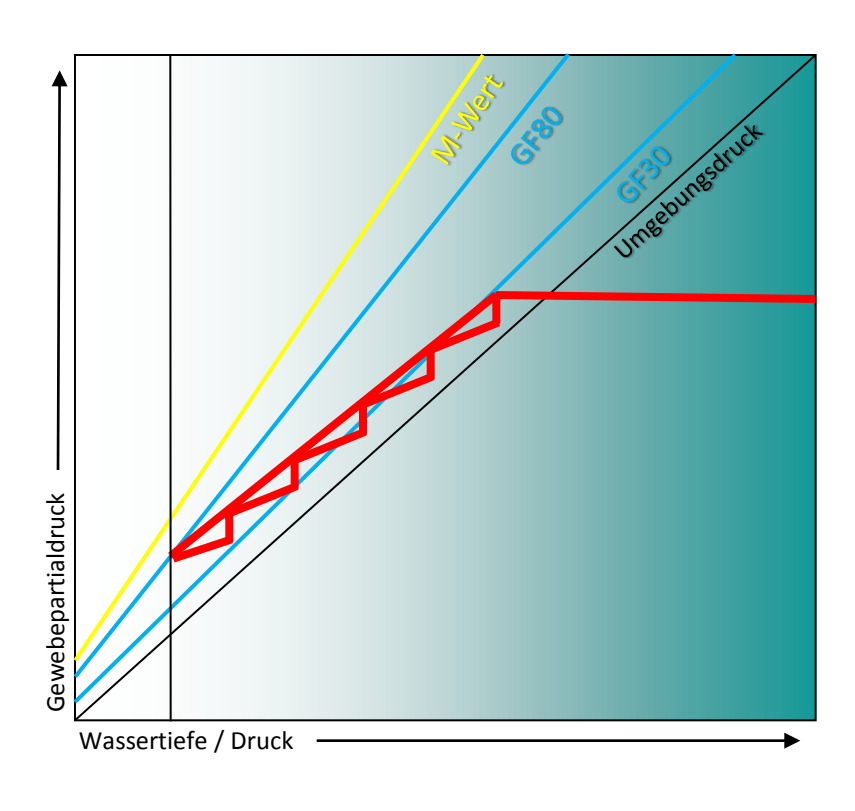
DAN Studie:

2 TG, 25m/25min., 3,5h Oberflächenpause, 25m/20min. Sicherheitsstopp (5min. auf 6m), verschiedene Aufstiegsgeschwindigkeiten

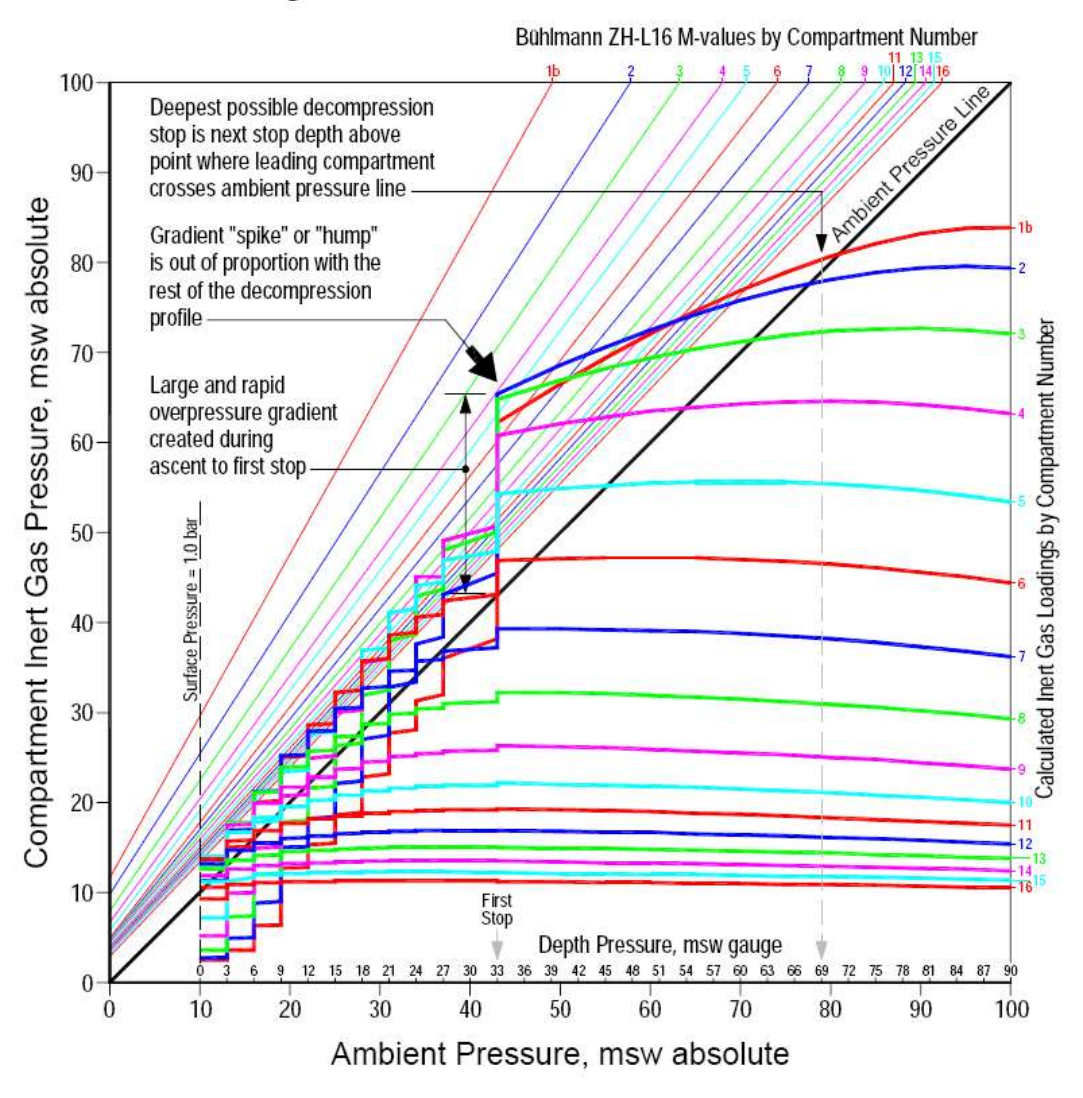


Fachbereich Ausbildung Gradientenmethode





Pressure Graph: Complete Decompression Profile Using Conventional Calculation Method





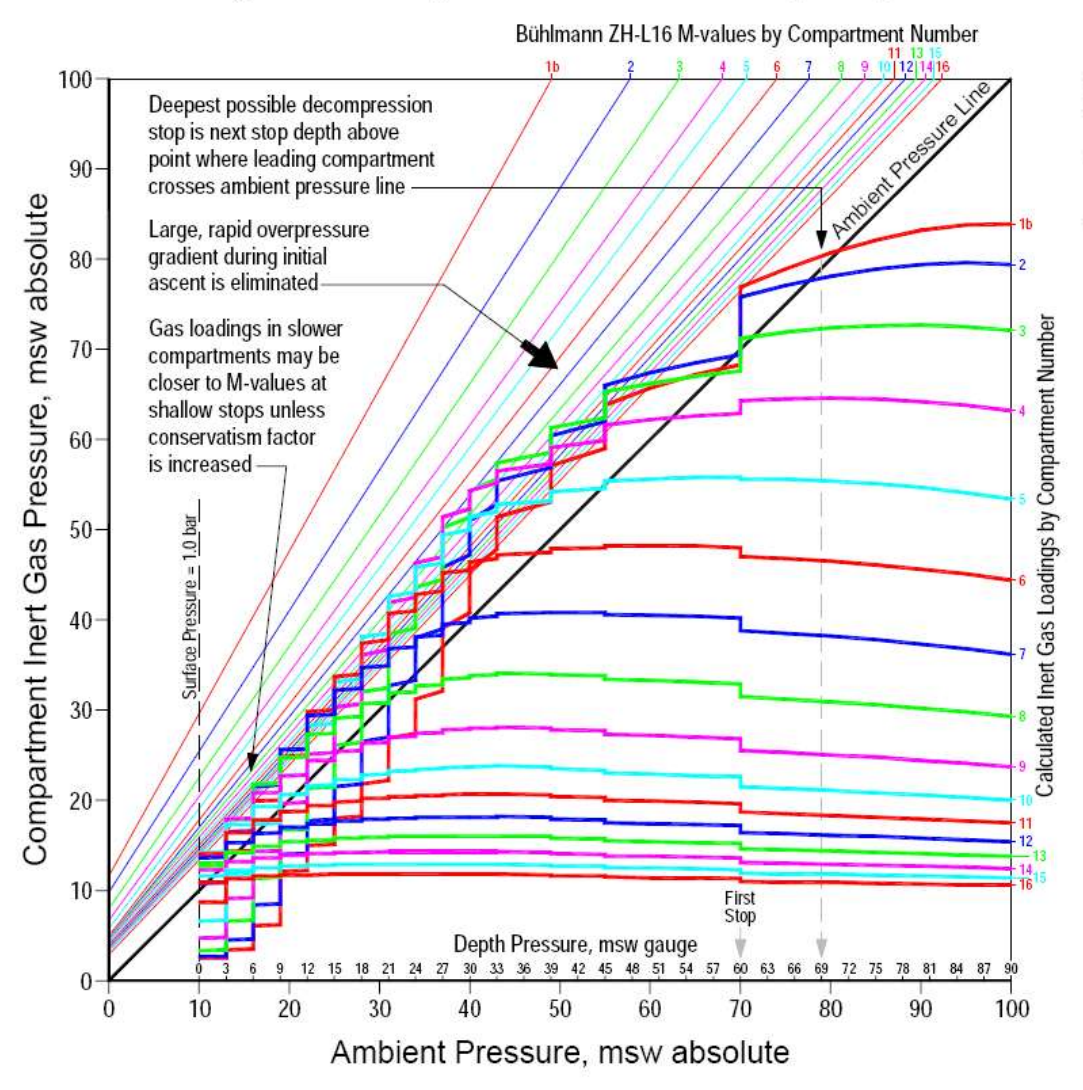
Note

- 13/50 Trimix dive to 90 msw (293 fsw) for 20 minutes bottom time.
- Deco mixes: Nitrox 36% at 33 msw. Nitrox 50% at 21 msw, and Nitrox 80% at 9 msw.
- 3. Conservatism factor is minimal (15%).
- 4. Ascent rate is 10 msw/min.
- Inert gas loadings are shown leaving the bottom at 20 minutes run time.
- 6. Run times are leaving the stop.
- This deco profile is representative for the typical deep "bounce dive."

Decompression Table

Stop	Run	Stop (msw)	Run	Stop	Run	Stop	Run
, ,	(min)	(IIISW)	(min)	(msw)	, ,	(msw)	(miln)
33	29	15	45	0	100		
27	31	12	51				
24	33	9	60				
21	36	6	73				
18	40	3	99				

Pressure Graph: Complete Decompression Profile Using Richard Pyle's Method For Deep Stops





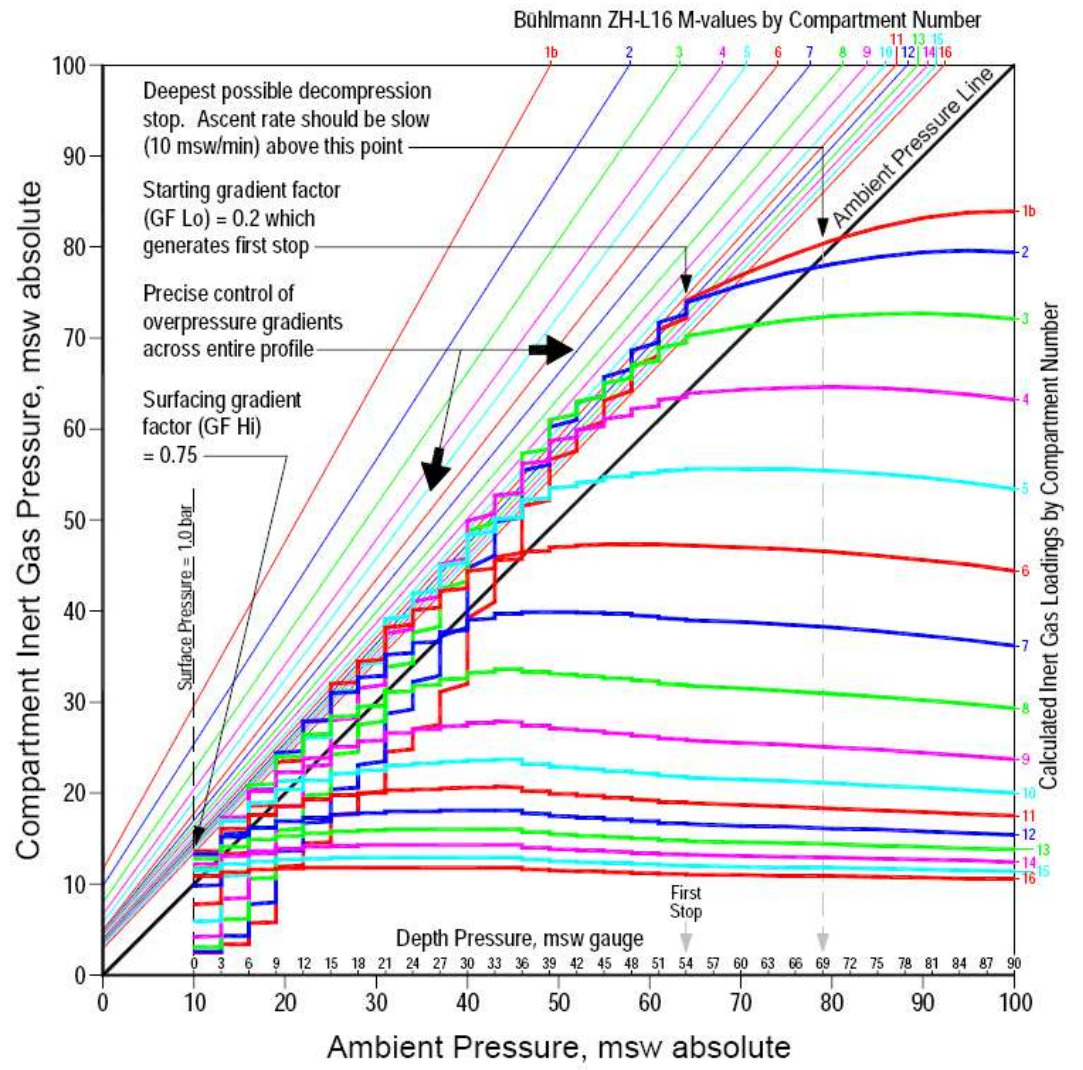
Notes

- 13/50 Trimix dive to 90 msw (293 fsw) for 20 minutes bottom time.
- Doco mixes: Nitrox 36% at 33 msw, Nitrox 50% at 21 msw, and Nitrox 80% at 9 msw.
- 3. Conservatism factor is minimal (15%).
- 4. Ascent rate is 10 msw/min.
- Inert gas loadings are shown leaving the bottom at 20 minutes run time.
- Run times are leaving the stop.
- Deep stops result in higher gas loadings in slower compartments at shallow stops.

Decompression Table

Stop (msw)	Run (min)	Stop (msw)	Run (min)	Stop (msw)	Run (min)	Stop (msw)	Run (min)
60	26	27	35	12	57		
45	29	24	37	9	66		
39	31	21	40	6	81		
33	32	18	44	3	109		
30	33	15	49	0	110		

Pressure Graph: Complete Decompression Profile Using Gradient Factors To Control Entire Profile





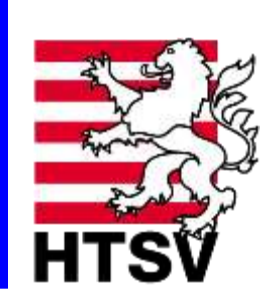
Notes:

- 13/50 Trimix dive to 90 msw (293 fsw) for 20 minutes bottom time.
- Deco mixes: Nitrox 36% at 33 msw, Nitrox 50% at 21 msw, and Nitrox 80% at 9 msw.
- 3. Conservatism is by gradient factors.
- 4. Ascent rate is 10 msw/min.
- Inert gas loadings are shown leaving the bottom at 20 minutes run time.
- 6. Run times are leaving the stop.
- Proximity of gas loadings to M-values is controlled by gradient factors.

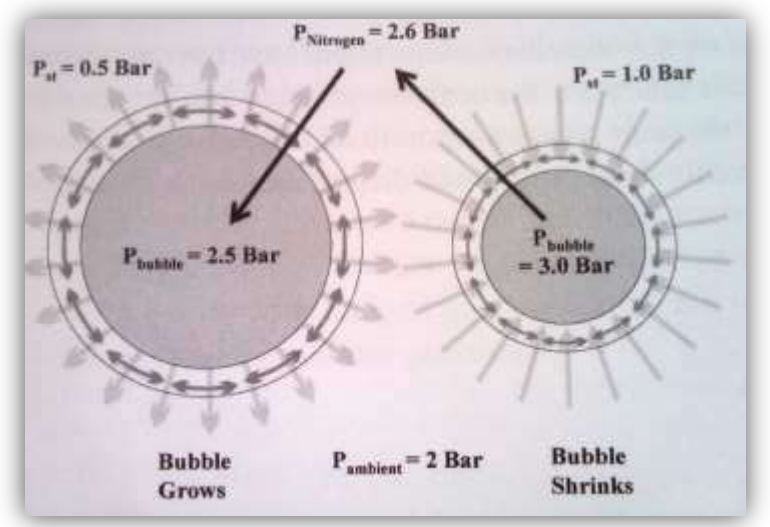
Decompression Table

Decempression rable									
Stop (msw)	Rụn (min)	Stop (msw)	Run (min)	Stop (msw)	Run (min)	Stop (msw)	Run (min)		
54	24	39	30	24	40	9	71		
51	25	36	33	21	44	6	87		
48	26	33	34	18	47	3	119		
45	27	30	36	15	53	0	120		
42	28	27	38	12	61				

Zweiphasenmodelle



- Symptomlose Blasen sind immer vorhanden (im Gleichgewicht mit gelöstem Gas)
- Grund: u.A. Kavitation im Blutkreislauf
- Stabilisiert durch: Surfactant
- Wachstum der Blasen soll eingeschränkt werden ⇒ "Deep Stops"
- Kräfteverhältnisse
 - Gasdruck in der Blase
 - Umgebungsdruck um die Blase
 - Oberflächenspannung der Blase (Funktion der Blasengröße!)
- Druck in der Blase immer größer als Umgebungsdruck
- Große Blasen werden zu Lasten kleinerer Blasen größer
- Blasentoleranz? (Shunt)



"Thermodynamisches Modell"



- Brian Hills (1970)
 - Australischer Doktorand
 - Studie über japanische Perlentaucher vor Australien
 - 90m Tiefe TG
 - Tauchprofile mit Deep Stops aber wesentlich kürzeren flachen Deko Stopps
 - Insgesamt wesentlich k\u00fcrzere Tauchzeit
 - Weit weg von klassischen Dekompressionsplänen
 - Einigermaßen Funktional
 - Artikel im "Bennet/Elliot"
 - Thermodynamisches Gleichgewicht im Zweiphasenmodell
 - Stieß auf massiven Gegenwind

VPM (Varying Permeability Model)



- David Yount (1980)
 - Leiter einer Forschungsgruppe an der Universität Hawaii
 - Surfactants stabilisieren die Blasen
 - Kritisches Totalvolumen von freiem Gas führt zu DCS
 - Maximalgradient während Aufstieg muss eingehalten werden
 - Rechenmodell veröffentlicht
 - Beliebt im Bereich des technischen Tauchens
 - Viele Verbesserungen bis heute
 - Shareware V-Planner (Hemingway/Baker)

RGBM (Reduced Gradient Bubble Model)



- Bruce Wienke (1995)
 - Bereichsleiter Kernwaffensimulation im Los Alamos National Laboratory
 - Aus VPM entwickelt
 - Kein offener Algorithmus (Suunto, Mares)
 - Berücksichtigt Sauerstofffenster
 - Viele Gradientenfaktoren für Sonderfälle
 - Wiederholungs-TG, Umkehrprofile, Non-Limit-Tauchen, Bergseetauchen

eine Auswahl an "Deep Stoppers"













ZHL8ADT-GF

Zusammenfassung



- VPM/RGBM ist ebenso empirisch wie die klassischen Modelle
- Einzige echte Lösung: Blasendetektion
- Deep Stops verringern nicht die Tauchzeit/den Luftbedarf
- Deep Stops verringern die Bildung von Mikroblasen
- Aufstiegsgeschwindigkeiten nie überschreiten
 - sonst sind alle Modelle überfordert
- Kein "Nullzeitsurfen"
- ggf. Aufstiegsgeschwindigkeiten in der Tiefe reduzieren
- Sicherheitsstopps durchführen
- ggf. "Deep Stops" einbauen
 - besonders bei Tauchgängen mit kurzen Zeiten auf größeren Tiefen
 - "alte" Computer rechnen danach korrekt weiter
- Neue Computer sind seit einiger Zeit auf dem Markt
 - Je komplexer, desto fehleranfälliger



Fachbereich Ausbildung Antithese



Dekompression ist (noch) keine völlig verstandene Wissenschaft!

Die empirische Methodik, die starke Vereinfachungen der Realität und die rein statistische Erfolgskontrolle fordert vom Taucher Verständnis für die Anwendung der Methoden und für deren Grenzen.

Vielen Dank für die Aufmerksamkeit!



"Ich vermute, dass das Universum nicht nur sonderbarer ist als wir vermuten – es ist sonderbarer als wir überhaupt vermuten können."

John Scott Haldane (1860-1936)